

# CV 复习

## 2 数字图像基础

简单的成像模型 入射分量  $i(x, y) \in [0, +\infty)$ , 反射分量  $r(x, y) \in [0, 1]$ , 图像  $f(x, y) = i(x, y)r(x, y) \in [L_{\min}, L_{\max}]$ 。

## 3 灰度变换与空间滤波

基本灰度变换函数

图像反转  $s = L - 1 - r$ 。

对数变换  $s = c \log(1 + r)$ 。

伽马变换  $s = cr^\gamma$ 。

分段变换 对比度拉伸、灰度级分层、比特平面分层。

直方图均衡化 图像大小  $M \times N$ 。

归一化直方图  $p_r(r_k) = \frac{n_k}{MN}$ 。

离散形式  $s_k = T(r_k) = (L - 1) \sum_{j=0}^k p_r(r_j)$ 。

直方图匹配 用于生成具有规定直方图的图像方法。

局部直方图 非重叠区域可能会产生块状效应。

空间滤波 滤波器（核）大小  $m \times n$ 。  $a = \frac{m-1}{2}, b = \frac{n-1}{2}$

线性空间滤波（空间相关） 满足分配律。  $g(x, y) = \sum_{x=-a}^a \sum_{y=-b}^b w(s, t) f(x + s, y + t)$ 。

空间卷积 满足交换律、结合律、分配律。  $w(x, y) \star f(x, y) = \sum_{y=-b}^b w(s, t) f(x - s, y - t)$ 。

与频率域滤波 卷积是空间域滤波的基础，它等效于频率域中的乘法，反之亦然；空间域中振幅为  $A$  的冲激，是频率域中值为  $A$  的一个常数，反之亦然。

平滑空间滤波器

线性 盒状滤波器、低通高斯滤波器（边界常数—复制填充；边界细节—镜像填充）。

非线性 中值滤波器（对椒盐噪声有效）、最大值滤波器、最小值滤波器。

锐化空间滤波器

拉普拉斯算子

$$\begin{bmatrix} 0 & -1 & 0 \\ -1 & 4 & -1 \\ 0 & -1 & 0 \end{bmatrix} \begin{bmatrix} -1 & -1 & -1 \\ -1 & 8 & -1 \\ -1 & -1 & -1 \end{bmatrix}$$

非锐化遮蔽  $g(x, y) = f(x, y) + k[f(x, y) - \bar{f}(x, y)]$

使用一阶微分 Roberts 交叉梯度算子

$$\begin{bmatrix} -1 & 0 \\ 0 & -1 \end{bmatrix} \begin{bmatrix} 0 & -1 \\ 1 & 0 \end{bmatrix}$$

Sobel 算子，奇数大小的核，用于边缘缺陷检测

$$\begin{bmatrix} -1 & -2 & -1 \\ 0 & 0 & 0 \\ 1 & 2 & 1 \end{bmatrix} \begin{bmatrix} -1 & 0 & 1 \\ -2 & 0 & 2 \\ -1 & 0 & 1 \end{bmatrix}$$

## 4 频率域滤波

连续变量傅立叶变换

正变换  $F(\mu) = \mathcal{F}\{f(t)\} = \int_{-\infty}^{\infty} f(t)e^{-j2\pi\mu t} dt$

反变换  $f(t) = \mathcal{F}^{-1}\{F(\mu)\} = \int_{-\infty}^{\infty} F(\mu)e^{j2\pi\mu t} d\mu$

冲激响应  $\mathcal{F}\{\delta(t - t_0)\} = e^{-j2\pi\mu t_0}$

冲激串 周期为  $\Delta T$  冲激串的傅立叶变换为周期为  $\frac{1}{\Delta T}$  的冲激串。

卷积定理 空间域中两个函数的卷积的傅立叶变换，等于频率域中两个函数的傅立叶变换的乘积；反之亦然。  $(f \star h)(t) \Leftrightarrow (H \cdot F)(\mu); (f \cdot h)(t) \Leftrightarrow (H \star F)(\mu)$

取样

取样函数  $\tilde{f}(t) = f(t)s_{\Delta T}(t) = \sum_{n=-\infty}^{\infty} f(t)\delta(t - n\Delta T)$

取样点  $f_k = \int_{-\infty}^{\infty} f(t)\delta(t - k\Delta T)dt = f(k\Delta T)$

傅立叶变换 周期  $\Delta T$  取样函数的傅立叶变换是周期为  $\frac{1}{\Delta T}$  的周期函数。

取样定理  $\frac{1}{\Delta T} > 2\mu_{\max}$  能够完全由其样本集合复原 ( $\mu$  表示原始)。奈奎斯特率  $\mu_{\max} = \frac{1}{2\Delta T}$ 。

**混叠** 以低于奈奎斯特取样率取样的最终效果是周期重叠，即混叠。混叠不可避免。可以通过平滑输入函数减少高频成分的方法来降低混淆的影响，被称为抗混叠，必须在函数被取样之前完成。莫尔效应：有时是周期或近似周期成分对场景取样产生的。

**复原函数** 样本值加权的 sinc 函数的无限和  $f(t) = \sum_{n=-\infty}^{\infty} f(n\Delta T)\text{sinc}\frac{t-n\Delta T}{\Delta T}$ 。

**单变量离散傅立叶变换 (DFT)** 有限样本下

$$\text{DFT } F(u) = \sum_{x=0}^{M-1} f(x)e^{-j2\pi ux/M}$$

**IDFT**  $f(x) = \frac{1}{M} \sum_{u=0}^{M-1} F(u)e^{j2\pi ux/M}$  这些函数都是无限周期的。DFT 的频率分辨率  $\Delta u$  与记录的长度  $T$  成反比；DFT 跨越的频率范围则取决于取样间隔  $\Delta T$ 。

**一维离散卷积定理**  $(f \star h)(t) \Leftrightarrow (H \cdot F)(\mu); (f \cdot h)(t) \Leftrightarrow \frac{1}{M}(H \star F)(\mu)$

**二变量离散傅立叶变换**

$$\text{DFT } F(u, v) = \sum_{x=0}^{M-1} \sum_{y=0}^{N-1} f(x, y)e^{-j2\pi(\frac{ux}{M} + \frac{vy}{N})}$$

$$\text{IDFT } f(x, y) = \frac{1}{MN} \sum_{u=0}^{M-1} \sum_{v=0}^{N-1} F(u, v)e^{j2\pi(\frac{ux}{M} + \frac{vy}{N})}$$

**二维离散卷积定理**  $(f \star h)(t) \Leftrightarrow (H \cdot F)(\mu); (f \cdot h)(t) \Leftrightarrow \frac{1}{MN}(H \star F)(\mu)$

**性质** (二维离散傅立叶变换)

$$\text{平均性 } \bar{f}(x, y) = \frac{1}{MN} F(0, 0)$$

$$\text{平移性 } f(x, y)e^{j2\pi(\frac{u_0x}{M} + \frac{v_0y}{N})} \Leftrightarrow F(u - u_0, v - v_0)$$

$$f(x - x_0, y - y_0) \Leftrightarrow F(u, v)e^{-j2\pi(\frac{ux_0}{M} + \frac{vy_0}{N})}$$

$$\text{旋转性 } f(r, \theta + \theta_0) \Leftrightarrow F(\omega, \phi + \theta_0)$$

$$\text{周期性 } f(x, y)(-1)^{x+y} \Leftrightarrow F(u - \frac{M}{2}, v - \frac{N}{2})$$

$$\text{离散单位冲激 } \delta(x, y) \Leftrightarrow 1; 1 \Leftrightarrow MN\delta(u, v)$$

$$\text{高斯 } A2\pi\sigma^2 e^{-2\pi^2\sigma^2(t^2+z^2)} \Leftrightarrow Ae^{-\frac{\mu^2+\sigma^2}{2\sigma^2}}$$

**基本滤波公式**  $g(x, y) = \mathcal{F}^{-1}[H(u, v)F(u, v)]$  填充只在空间域进行，将  $H(u, v)$  用 IDFT 转化为空间域，填充后再用 DFT 转化到频率域。这种做法的问题在于，空间域的不连续可能在频率域中产生振铃现象。

**低通滤波平滑图像**

**理想低通滤波器 (ILPF)** 有振铃现象。

$$H(u, v) = \begin{cases} 1, & D(u, v) \leq D_0 \\ 0, & D(u, v) > D_0 \end{cases}$$

**高斯低通滤波器 (GLPF)** 不会有振铃现象。

$$H(u, v) = e^{-\frac{D^2(u, v)}{2D_0^2}}$$

**Butterworth LPF (BLPF)** 需要用截止频率来控制低频和高频过渡的情况。

$$H(u, v) = \frac{1}{1 + \left[\frac{D(u, v)}{D_0}\right]^{2n}}$$

**高通滤波锐化图像**  $H_{HP}(u, v) = 1 - H_{LP}(u, v)$ ，拉普拉斯算子，非锐化遮蔽，高提升滤波都是可行的。

**同态滤波** 图像取对数后 DFT 的低频成分与照射相联系，高频成分与反射相联系。由于  $\mathcal{F}\{\ln f(x, y)\} = \mathcal{F}\{\ln i(x, y)\} + \mathcal{F}\{\ln r(x, y)\}$ ，新图像  $g(x, y) = e^{i'(x, y)}e^{r'(x, y)}$

**选择性滤波**

**理想带阻滤波器 (IBRF)**

$$H(u, v) = \begin{cases} 0, & C_0 - \frac{W}{2} \leq D(u, v) \leq C_0 + \frac{W}{2} \\ 1, & \text{otherwise} \end{cases}$$

**高斯带阻滤波器 (GBRF)**

$$H(u, v) = 1 - e^{-\left[\frac{D^2(u, v) - C_0^2}{D(u, v)W}\right]^2}$$

**Butterworth BRF (BBRF)**

$$H(u, v) = \frac{1}{1 + \left[\frac{D(u, v)W}{D^2(u, v) - C_0^2}\right]^{2n}}$$

**带通滤波器**  $H_{BP}(u, v) = 1 - H_{BR}(u, v)$

**陷波滤波器** 选择性地修改 DFT 的局部区域。陷波滤波器拒绝（或通过）实现定义的关于频率矩形中心的一个邻域的频率。零相移滤波器必须是关于原点对称的。陷波带阻滤波器由高通滤波器乘积构造，

$$H_{NR}(u, v) = \prod_{k=1}^Q H_k(u, v)H_{-k}(u, v)$$

陷波带通滤波器  $H_{NP}(u, v) = 1 - H_{NR}(u, v)$

**快速傅立叶变换 (FFT)**  $\mathcal{O}(N^2) \rightarrow \mathcal{O}(N \log N)$ 。

## 5 图像复原与重建

**退化模型** 空间域  $g(x, y) = h(x, y) \star f(x, y) + \eta(x, y)$  或频率域  $G(u, v) = H(u, v)F(u, v) + N(u, v)$

**噪声模型** 白噪声（傅立叶谱是常量）、高斯噪声、瑞利噪声、伽马噪声、指数噪声、均匀噪声、椒盐噪声、周期噪声。

只存在噪声的复原—空间域滤波 均值滤波器（算术、几何、谐波、逆谐波

$$\hat{f}(x, y) = \frac{\sum_{(r,c) \in S_{xy}} g(r, c)^{Q+1}}{\sum_{(r,c) \in S_{xy}} g(r, c)^Q}$$

$Q > 0$  消除椒噪声细化和模糊暗色区域,  $Q < 0$  消除盐噪声,  $Q = 0$  算术,  $Q = -1$  谐波), 统计排序滤波器 (中值、最大值和最小值、中点滤波器—最大与最小的中点、修正阿尔法均值滤波器—去掉最高部分去掉最低部分剩下平均), 自适应滤波器。

降低周期噪声—频率域滤波 带阻滤波器: 可用来消除周期噪声。带通滤波器: 可用来提取噪声模式。陷波 (带阻/带通) 滤波器: 可用来消除/提取周期噪声。最佳陷波滤波器: 在一定意义上是最佳的, 因为它最小化了复原的估计值的局部方差。

估计退化略。最小均方误差 (维纳) 滤波、约束最小二乘方滤波、几何均值滤波略。

## 6 彩色图像处理

彩色模型

CMY(K)

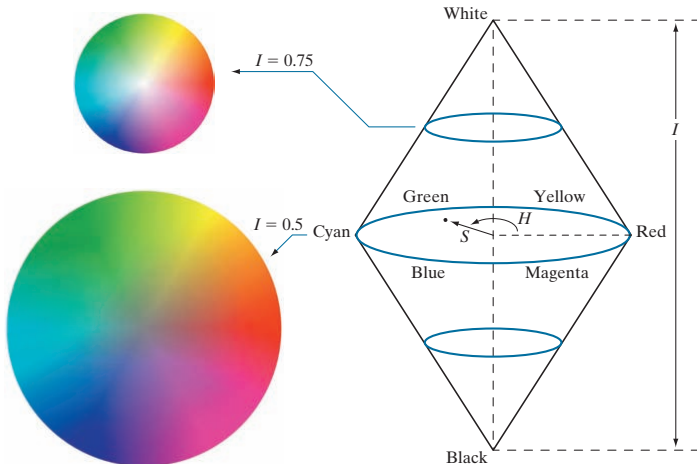
$$1 - R = C = C(1 - K) + K$$

$$1 - G = M = M(1 - K) + K$$

$$1 - B = Y = Y(1 - Y) + K$$

$$\min(C, M, Y) = K$$

HSI  $I = \frac{1}{3}(R + G + B)$

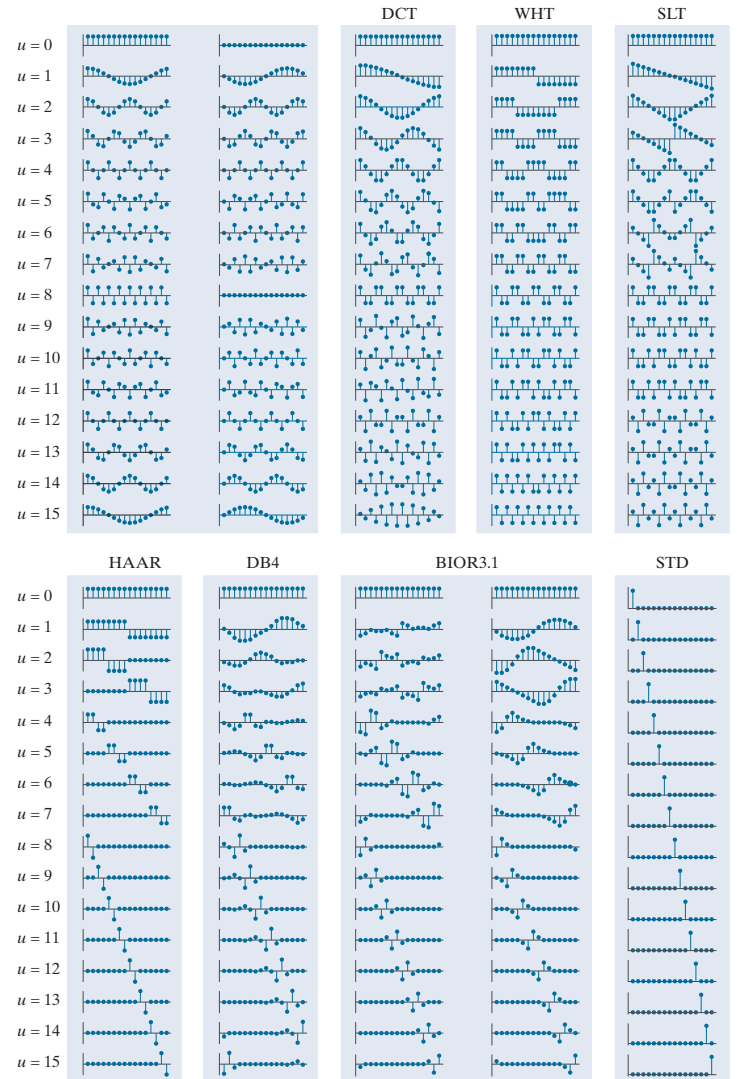


## 7 小波变换

海森堡盒

$$\sigma_i^2 \sigma_f^2 \geq \frac{1}{16\pi^2}$$

常见变换基向量 傅立叶基 (实部和虚部)、离散余弦基、Walsh-Hadamard 基、斜坡基、Haar 基、Daubechies 基、双正交 B 样条及其对偶、标准基。



二维图像变换  $r$  和  $s$  分别为正、反变换核。

$$T(u, v) = \sum_{x=0}^{N-1} \sum_{y=0}^{N-1} f(x, y)r(x, y, u, v)$$

$$f(x, y) = \sum_{x=0}^{N-1} \sum_{y=0}^{N-1} T(u, v)s(x, y, u, v)$$

**基图像**

$$\mathbf{F} = \sum_{u=0}^{N-1} \sum_{v=0}^{N-1} T(u, v) \mathbf{S}_{u, v}$$

其中  $\mathbf{F}$  是二维图像,  $\mathbf{S}_{u, v}$  称为基图像。如果底层的  $s(x, y, u, v)$  是实值的、可分离的、对称的, 则直接相乘  $\mathbf{S}_{u, v} = \mathbf{s}_u \mathbf{s}_v^T$ 。

**Walsh-Hadamard 变换 哈达玛**

$$\mathbf{A}_W = \frac{1}{\sqrt{N}} \mathbf{H}_N, \quad H_{2N} = \begin{bmatrix} H_N & H_N \\ H_N & -H_N \end{bmatrix}$$

**Haar 变换 哈尔**

$$A_H = \frac{1}{\sqrt{2}} \begin{bmatrix} 1 & 1 \\ 1 & -1 \end{bmatrix}, \quad A_H = \frac{1}{2} \begin{bmatrix} 1 & 1 & 1 & 1 \\ 1 & 1 & -1 & -1 \\ \sqrt{2} & -\sqrt{2} & & \\ & & \sqrt{2} & -\sqrt{2} \end{bmatrix}$$

**多分辨率展开**

**对尺度函数要求 (MRA 要求)** 尺度函数对其整数平移是正交的; 低尺度的尺度函数跨越的子空间, 嵌套在高尺度跨越的子空间内; 唯一对所有  $V_j$  通用的函数是  $f(x) = 0$ ; 任何函数都可以按任意精度表示。

**快速小波变换 (FWT)** 将函数分解为尺度和小波函数之和,  $\mathcal{O}(N)$ 。

**小波包** 更好地控制时间-频率平面的划分 (得到更小的低频带宽),  $\mathcal{O}(N \log_2 N)$ 。

## 8 图像压缩和水印

**相对数据冗余**  $R = 1 - \frac{1}{C}$ ,  $C$  是压缩率,  $C = \frac{b}{b'}$   $> 1$ 。主要有: 编码冗余、空间和时间冗余、无关信息。

**熵**  $H = -\sum_{j=1}^J P(a_j) \log P(a_j)$

**灰度信源的熵**  $\tilde{H} = -\sum_{k=0}^{L-1} p_r(r_k) \log_2 p_r(r_k)$

**Shannon 第一定理**

$$\lim_{n \rightarrow \infty} \frac{L_{\text{avg}}}{n} = \lim_{n \rightarrow \infty} \frac{\sum_{k=0}^{n-1} l(r_k) p_r(r_k)}{n} = H$$

**数据压缩分类**

**无损压缩** 包括熵编码、无损预测编码、字典编码。

**有损压缩** 包括有损预测编码、变换编码、小波编码。

**无损压缩编码**

**Huffman 编码**

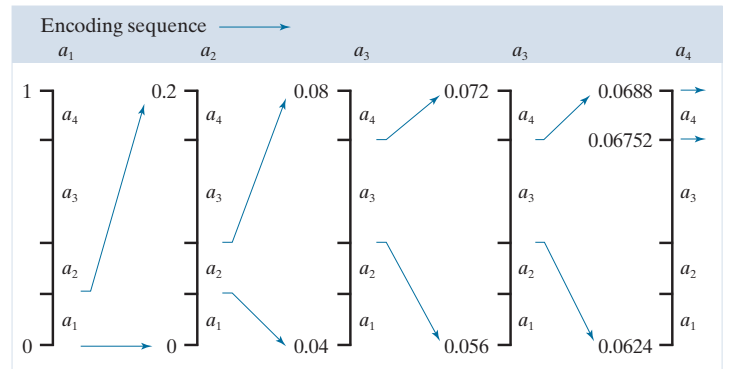
**Golomb 编码**  $G_m(n)$ : 1. 形成商  $\lfloor n/m \rfloor$  的一元编码 ( $q$  个 1 一个 0) 2.  $k = \lceil \log_2 m \rceil, c = 2^k - m, r = n \bmod m,$

$$r' = \begin{cases} r \text{截断至 } k-1 \text{ 比特}, & 0 \leq r < c \\ r + c \text{截断至 } k \text{ 比特}, & \end{cases}$$

连接 1. 和 2. 的结果。

为计算  $G_4(9), \lfloor 9/4 \rfloor = 2 = (110)_2; k = \lceil \log_2 4 \rceil = 2, c = 2^k - 4 = 0, r = 9 \bmod 4 = 1 = (0001)_2, r'$  是  $r + c$  截断  $k$  比特的结果 (因为  $r \geq c$ ; 否则应当为  $r$  截断至  $k-1$  比特); 连接后得到 11001。

**算术编码** 依照概率, 不是一一对应。



**LZW 编码** 无误差压缩方法, 字典。GIF、TIFF。

**行程编码 (RLE)** 去除像素冗余, 用行程的灰度和行程的□度代替行程本身。BMP、JPEG、M-JPEG。

**基于符号 JBIG2**

**比特平面** 涉及格雷码:  $g_i = a_i$  异或  $a_{i+1}, g_{m-1} = a_{m-1}$ , 连续码字只有一个比特位置不同, 小灰度变化不太可能影响全部比特平面。JBIG2、JPEG-2000。

**有损压缩编码** 略。

## 9 形态学处理

**腐蚀与膨胀**

**腐蚀**  $A \ominus B$

**膨胀**  $A \oplus B$

**对偶性**  $(A \ominus B)^c = A^c \oplus \hat{B}; (A \oplus B)^c = A^c \ominus \hat{B}$

**开与闭运算**

**开运算**  $A \circ B = (A \ominus B) \oplus B$  平滑轮廓、断开狭颈、消除细长突出物

**闭运算**  $A \bullet B = (A \oplus B) \ominus B$  弥合沟壑、消除小孔、填补缝隙

**对偶性**  $(A \circ B)^c = (A^c \bullet \hat{B}), (A \bullet B)^c = (A^c \circ \hat{B})$

性质  $A \circ B \subseteq A; C \subseteq D \Rightarrow C \circ B \subseteq D \circ B; (A \circ B) \circ B = A \circ B; A \subseteq A \bullet B; C \subseteq D \Rightarrow C \bullet B \subseteq D \bullet B; (A \bullet B) \bullet B = A \bullet B$   
 击中击不中变换  $I \otimes B_{1,2} = (A \ominus B_1) \cap (A^c \ominus B_2)$  形状检测。

### 基本形态学算法

边界提取  $\beta(A) = A - (A \ominus B)$

孔洞填充  $X_k = (X_{k-1} \oplus B) \cap I^c$ , 迭代结束条件  $X_k = X_{k-1}$ , 如果不加以控制, 膨胀将填充整个区域。

提取连通分量  $X_k = (X_{k-1} \oplus B) \cap I \downarrow X_k = X_{k-1}$ 。

凸包 粗略 (使用了腐蚀):  $X_k^i = (X_{k-1}^i \otimes B^i) \cup X_{k-1}^i \downarrow X_k^i = X_{k-1}^i, C(A) = \bigcup_{i=1}^M D_i$ 。

细化  $A \otimes B = A - (A \otimes B)$ , 不破坏连通性的前提。

粗化  $A \odot B = A \cup (A \otimes B)$ , 不合并对象的前提。

骨架  $S(A) = \bigcup_{k=0}^K S_k(A), S_k(A) = (A \ominus kB) - (A \ominus (k+1)B) \circ B$

裁剪 (Pruning) 骨架后处理, 清除某些寄生成分。

形态学重建 标记图像  $F$  包含重建的起点, 模板图像  $G$  约束重建, 结构元  $B$  用于定义连通性。

测地膨胀  $D_G^{(1)}(F) = (F \oplus B) \cap G$  Geodesic Dilation

测地腐蚀  $E_G^{(1)}(F) = (F \ominus B) \cup G$  Geodesic Erosion

膨胀形态学重建  $R_G^D(F) = D_G^{(k)}(F) \downarrow D_G^{(k)}(F) = D_G^{(k+1)}(F)$

腐蚀形态学重建  $R_G^E(F) = E_G^{(k)}(F) \downarrow E_G^{(k)}(F) = E_G^{(k+1)}(F)$

重建开运算  $O_R^{(n)}(F) = R_F^D(F \ominus nB)$  精确地恢复腐蚀后保留目标的形状。

重建闭运算  $C_R^{(n)}(F) = R_F^E(F \oplus nB)$  在背景像素上执行。

### 填充孔洞自动算法

$$F(x, y) = \begin{cases} 1 - I(x, y), & (x, y) \text{ 在边框上} \\ 0, & \text{其他} \end{cases}, H = [R_{I^c}^D(F)]^c$$

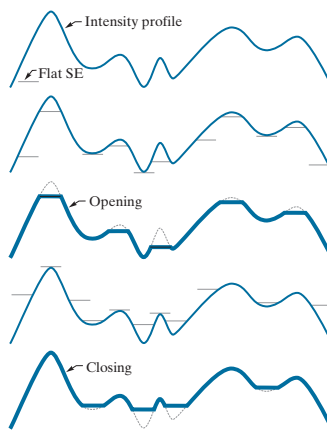
边界清除  $X = I - R_I^D(F)$  目标不接触边界。

### 灰度腐蚀和膨胀

灰度腐蚀  $[f \ominus b](x, y) = \min_{(s,t) \in b} \{f(x+s, y+t) - b_N(s, t)\}$

灰度膨胀  $[f \oplus b](x, y) = \max_{(s,t) \in b} \{f(x+s, y+t) + \hat{b}_N(s, t)\}$

灰度开与闭运算 用剖面解释, 性质上将  $\subseteq$  换成  $\leftrightarrow$  符号, 表示既是子集而且每个点都比后者小



形态学梯度  $g = (f \oplus b) - (f \ominus b)$

顶帽变换和底帽变换 用一个结构元从图像中删除目标, 而不是拟合将被删除的目标。

顶帽变换  $T_{\text{hat}}(f) = f - (f \circ b)$  暗背景上的亮目标

底帽变换  $B_{\text{hat}}(f) = (f \bullet b) - f$  亮背景上的暗目标

图像分割、特征提取、图像模式分类略。